

3. SENZORI POZICIJE

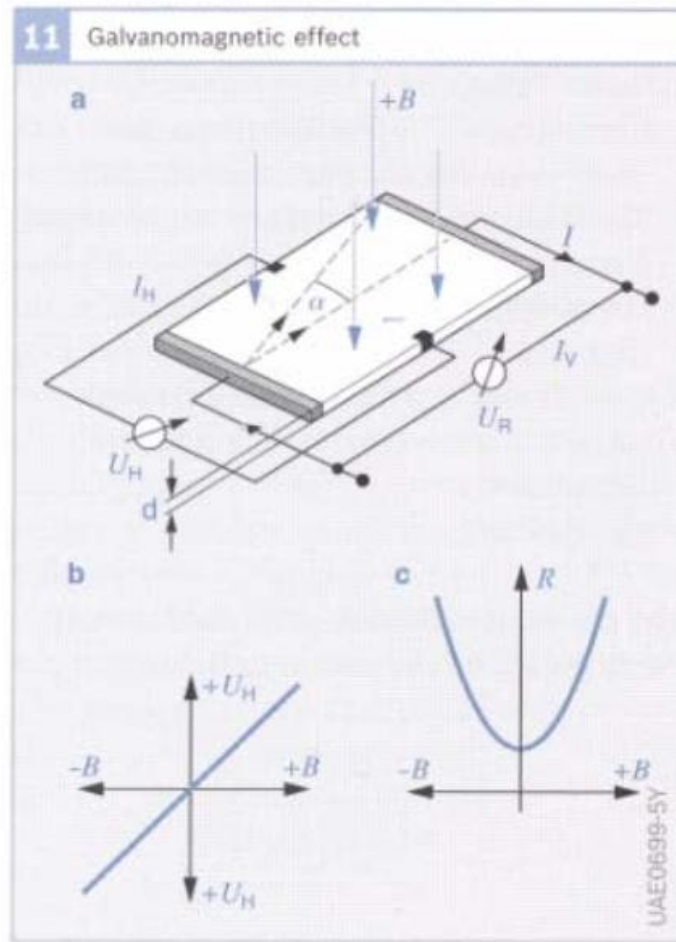
3.2. Magnetno-statički senzori

- **Magnetno-statički senzori** mere jačinu jednosmernog magnetnog polja (DC magnetno polje).
- U odnosu na magnetno-induktivne senzore, pogodniji su za minijaturizaciju i jeftiniji su za primenu u mikrosistemskim tehnikama proizvodnje.
- Osnovni principi rada su:
 - *galvansko-magnetski efekat* (Holov i Gausov efekt),
 - *anizotropno-magnetski otporni efekat* (AMR) u tehnici tankog filma.

Magnetno-statički senzori - galvansko-magneti efekt

Fig. 11

- a Circuit
- b Curve of Hall voltage U_H
- c Increase of wafer resistance R (Gaussian effect)
- B Magnetic induction
- I Wafer current
- I_H Hall current
- I_V Supply current
- U_R Longitudinal voltage
- a Deviation of the electrons due to the magnetic field



- Ako kroz poluprovodnički element debljine d protiče struja I , a na njega deluje magnetna indukcije B u normalnom pravcu, usled delovanja Lorencove sile dolazi do promene smera kretanja elektrona za ugao α .
- Kao posledica neravnomerne raspodele nanelektrisanja po poluprovodničkom elementu na poprečnim krajevima pločice dolazi do generisanja napona U_H , proporcionalnog magnetnoj indukciji B i jačini struje I , odnosno:

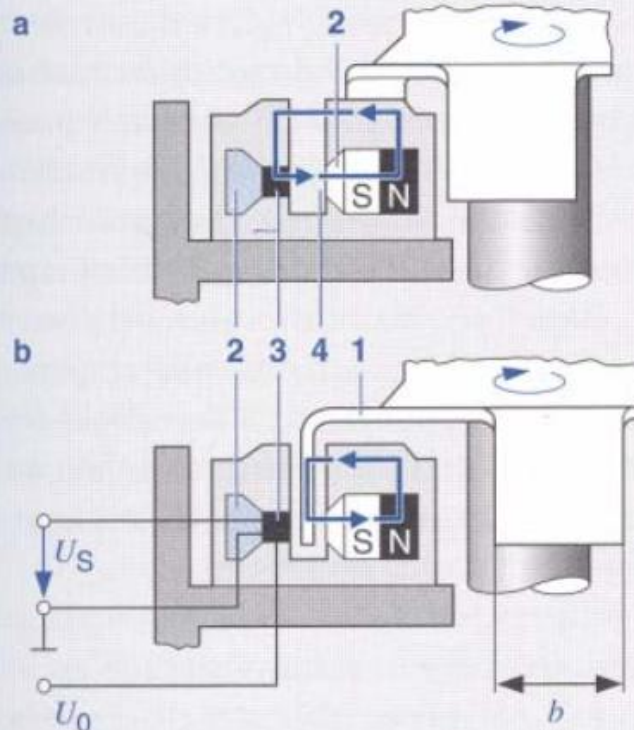
$$U_H = \frac{IBR_H}{d}$$

R_H – Holov koeficijent,
 d - debljina poluprovodničkog elementa.

Izvedbe Holovih senzora pozicije

Holov prekidač

12 Hall vane switch



UAE0639-1Y

- Holov napon se vodi u elektronsko integralno kolo senzora (Schmitt- ov triger), pa je izlazni signal digitalnog oblika.
- Ako je magnetna indukcija B senzora ispod donje granične vrednosti, izlazna vrednost iz trigera je logička vrednost 0 (odgovara isključenom stanju), a ako je iznad gornje granične vrednosti tada odgovara logičkoj vrednosti 1 (radno stanje).
- Potrebna promena indukcije ΔB za okidanje Holovog prekidača je obično oko 50 mT

Fig. 12

- a Magnetic flux: unhindered
- b Magnetic flux: short-circuited
- 1 Vane width b
- 2 Soft-magnetic conductive element
- 3 Hall IC
- 4 Air gap
- U_0 Supply voltage
- U_S Sensor voltage

- Nedostatak je nepreciznost merenja analognih promenljivih.

22

Digital Hall angular-position sensor with
n Hall switches

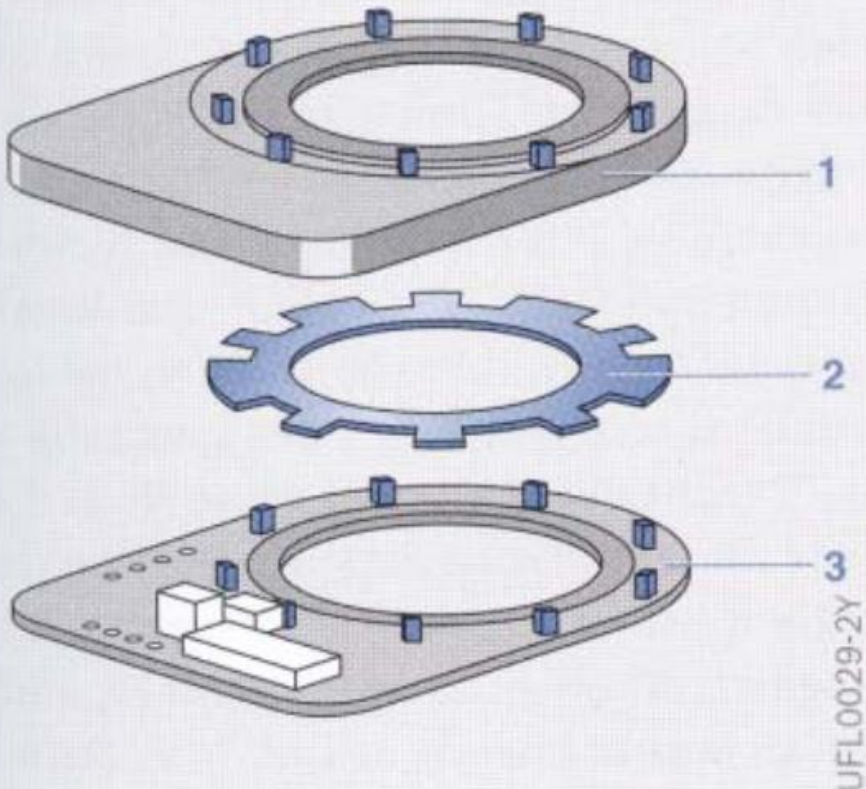


Fig. 22

Angular position
measurement up to
360° with a circular,
equidistant arrange-
ment of simple Hall
switches

- 1 Housing with permanent magnets
- 2 Code disk
- 3 Printed-circuit board with Hall switches

Digitalni senzor ugla upravljača

Izvedbe Holovih senzora pozicije

Holov senzor na principu obrtnih struja

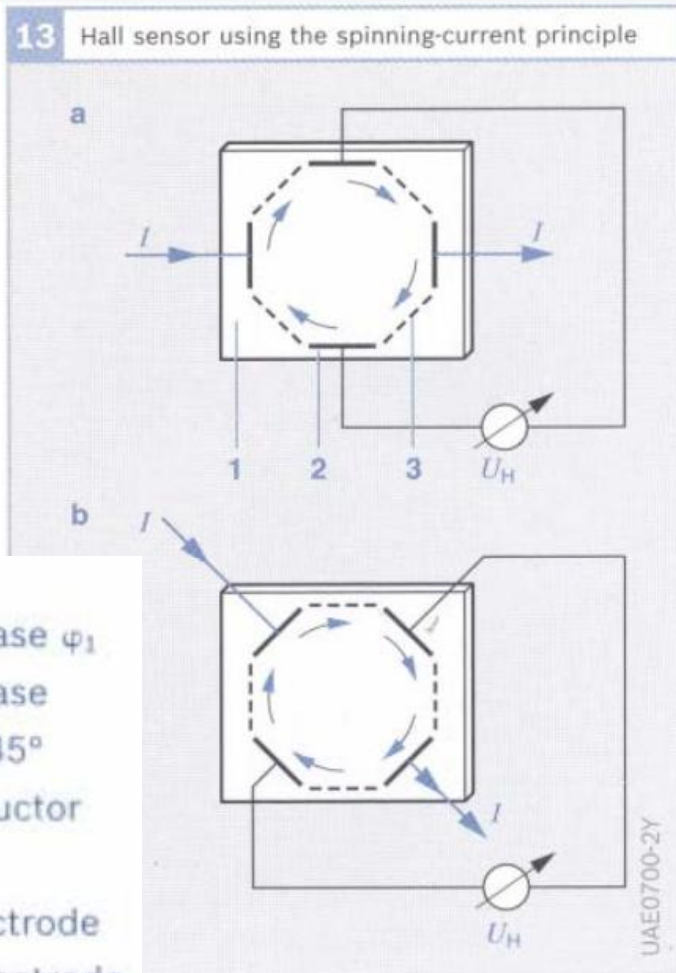


Fig. 13

- a Rotary phase φ_1
- b Rotary phase $\varphi_2 = \varphi_1 + 45^\circ$
- 1 Semiconductor wafer
- 2 Active electrode
- 3 Passive electrode
- I Supply current
- U_H Hall voltage

- Osnovni nedostatak jednostavnijih silicijumskih Holovih senzora je njihova istovremena osetljivost na mehaničko naprezanje (piezo-električni efekat), što je nemoguće izbeći tokom eksploatacionog veka senzora, kao i negativan uticaj temperature na tačnost merenja.
- Navedeni nedostatak može se otkloniti primenom principa **obrtnih (rotirajućih) struja**.
- Ovakav Holov senzor je pogodan za merenje malih pomaka pri kojima se registruju promene magnetnog polja permanentnog magneta.

SENZORI I AKTUATORI

Izvedbe Holovih senzora pozicije

Diferencijalni Holov senzor

14 Differential Hall sensor

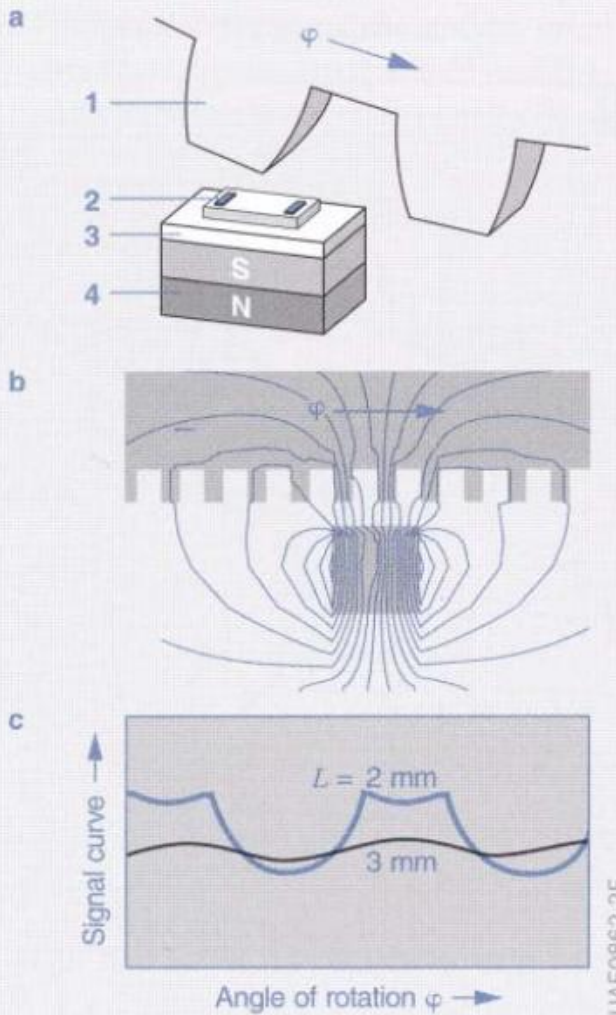


Fig. 14

- a Design
 - b Field-strength distribution (1.5 times increment spacing)
 - c Signal curve for air-gap widths L
- 1 Ring gear
2 Differential Hall IC
3 Homogenizing wafer (soft iron)
4 Permanent magnet

- Dva Holova sistema su postavljena na tačno definisanom rastojanju.
- Odgovarajuće elektronsko kolo obrađuje razliku dva Holova napona.
- Izlazni signal uglavnom nezavisan od apsolutne vrednosti jačine magnetnog polja, odnosno meri samo promenu magnetne indukcije u prostoru (gradijent polja), zbog čega su i dobili naziv - Gradijentni senzori.

Izvedbe Holovih senzora pozicije

Holov senzor ugla rotacije do 180°

15

Analog Hall angular-position sensor
(movable magnet)

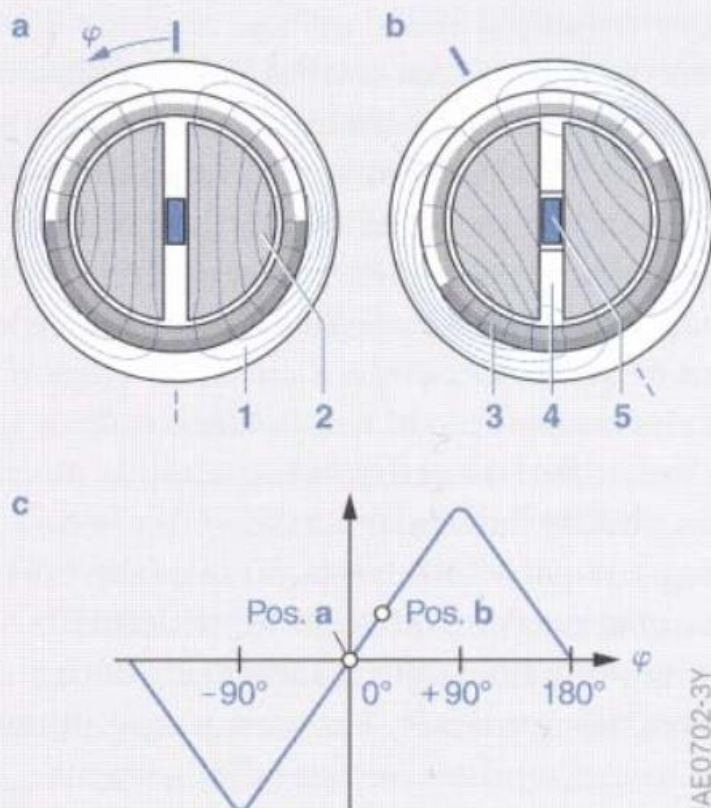


Fig. 15
Linear characteristic
curve for angles up
to 180°
a Position a
b Position b
c Output signal
1 Magnetic yoke
2 Stator (1, 2 soft
iron)
3 Rotor (permanent
magnet)
4 Air gap
5 Hall sensor
 φ Angle of rotation

- Ovaj tip senzora koristi rotacioni magnetni prsten (**pokretni magnet**) sa određenim brojem fiksnih feromagnetskih provodnih elemenata.
- Izlazni signal je linearan u širem mernom području.
- Efektivna vrednost magnetnog polja preko Holovog senzora direktno zavisi od ugla rotacije φ .

Holov senzor ugla rotacije tipa ARS1

16 ASR1 Hall angular-position sensor
(movable magnet)

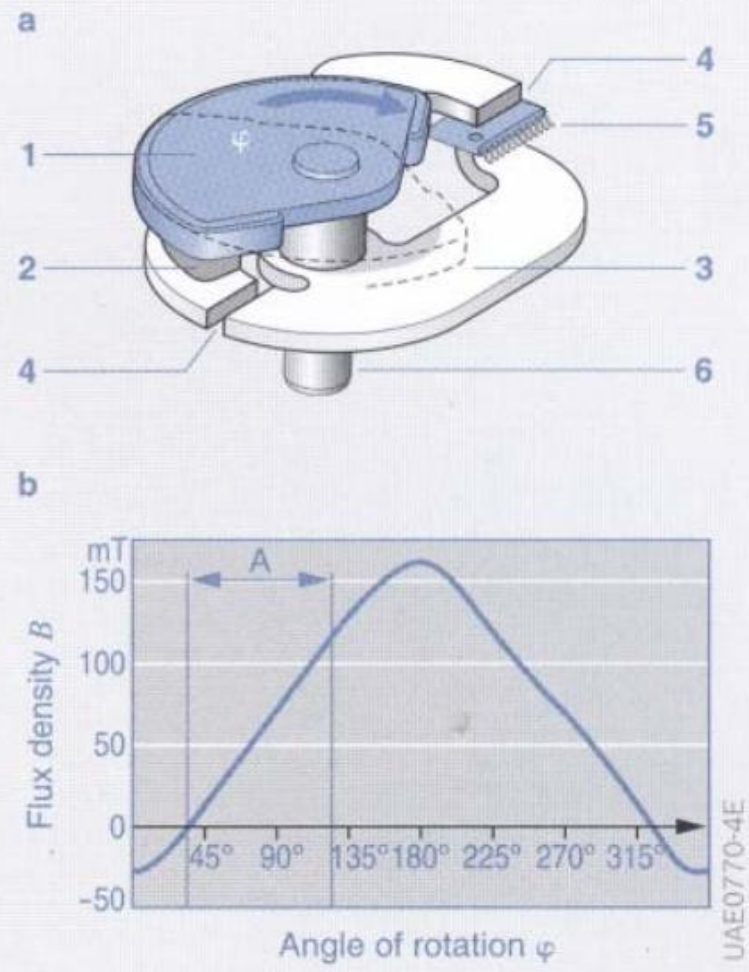


Fig. 16

Linear characteristic curve for angles up to approximately 90°

- a Design
- b Characteristic curve with working range A
- 1 Rotor disk (permanent-magnetic)
- 2 Pole shoe
- 3 Conductive element
- 4 Air gap
- 5 Hall sensor
- 6 Shaft (soft magnetic)

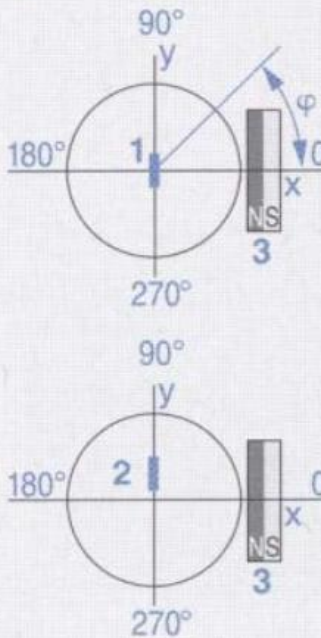
- Senzor ugla rotacije (ARS1) s mernim područjem oko 90° izveden je na principu Holovog senzora sa pokretnim magnetom.
- Magnetni fluks iz praktično polukružnog diska permanentnog magneta zatvara se preko polnog nastavka, dva dodatna provodna elementa od kojih svaki sadrži Holov senzor.
- Primenom ovog principa dobija se praktično linearna izlazna karakteristika.

Holov senzor ugla rotacije tipa ARS2

17

ASR2 Hall angular-position sensor
(movable magnet)

a



b

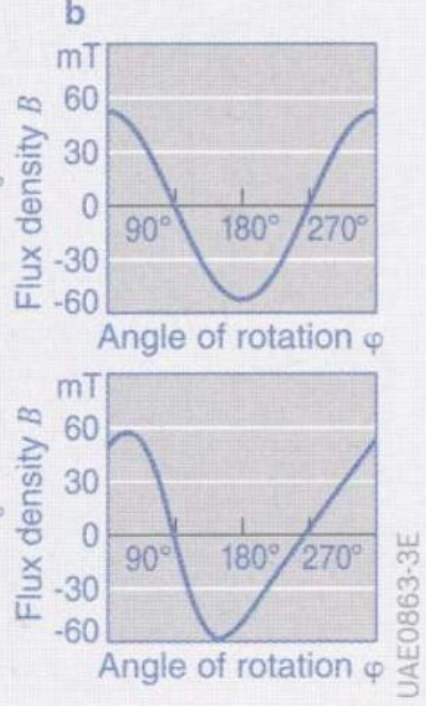


Fig. 17

Linear characteristic curve for angles over 180°

- a Principle of operation
- b Characteristic curve

- 1 Hall IC positioned in the mid-point of the circular path
- 2 Hall IC located outside the mid-point (linearization)
- 3 Magnet

- Senzor tip ARS2 je pojednostavljena verzija bez provodnih elemenata , u kojoj se permanentni magnet pomera po luku kruga u odnosu na Holov senzor.
- ukoliko se Holov senzor pomeri iz centra kruga, dobija se promena u izlaznom sinusnom signalu koja rezultuje povećanjem područja linearnosti karakteristike signala:
 - kraće područje $\approx 90^\circ$
 - šire područje $\geq 180^\circ$

Osnovni nedostaci ovog rešenja su:

- osetljivost na elektromagnetske smetnje od spoljnih polja,
- izražena zavisnost od tolerancija geometrije magnetnog kola,
- značajan uticaj temperature i eksploracionog veka na magnetni fluks permanentnog magneta.

Izvedbe Holovih senzora pozicije

Holov senzor ugla rotacije do 360°

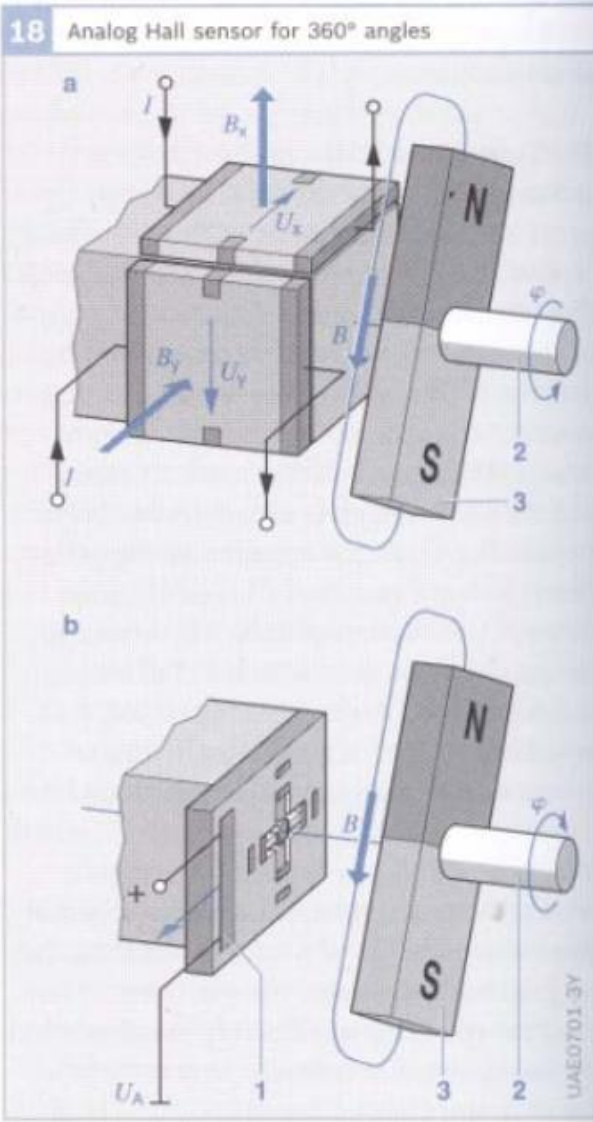


Fig. 18

- a Constructed from discrete Hall ICs
- b Constructed from planar integrated Hall ICs
- 1 Signal electronics
- 2 Camshaft
- 3 Control magnet
- B Induction
- I Current
- U Voltage
- U_A Output voltage
- φ Angle of rotation

- Permanetni magnet rotira ispred dva Holova senzora postavljena pod uglom od 90° i paralelno u odnosu na osu rotacije permanentnog magneta.
- Merenje je ograničeno samo za montažu senzora na kraju rotacione osovine.
- Permanentni magnet mora biti dovoljne veličine da se izbegne uticaj tolerancija vezanih za njegovu ugradnju.

$$U_{H1} = U_x = B \cdot \sin \varphi$$

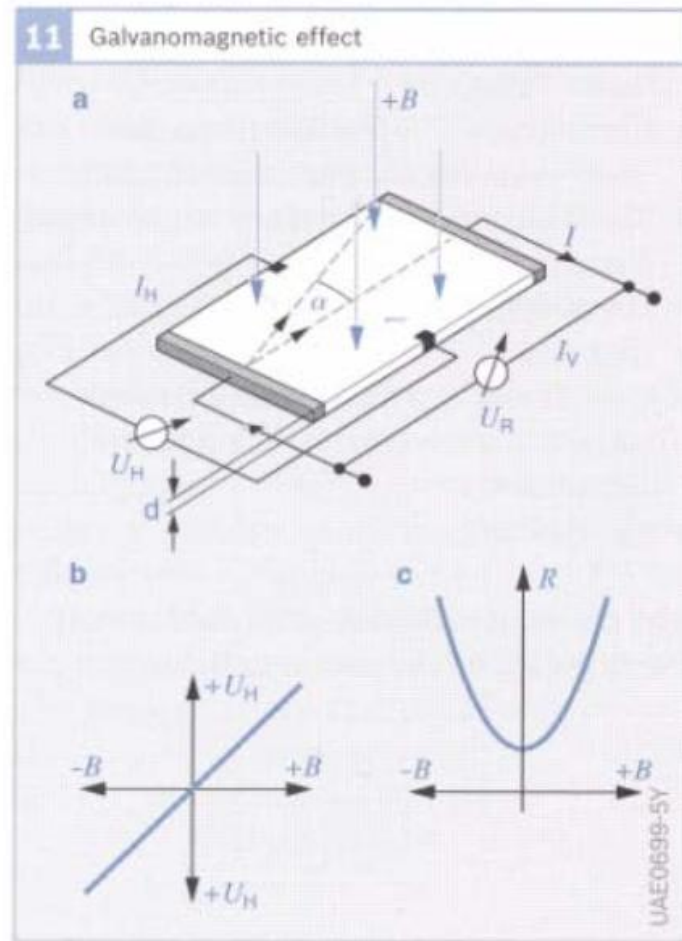
$$U_{H2} = U_y = B \cdot \cos \varphi$$

$$\varphi = \operatorname{arctg} (U_x / U_y)$$

Magnetno-otporni senzori

Fig. 11

- a Circuit
- b Curve of Hall voltage U_H
- c Increase of wafer resistance R (Gaussian effect)
- B Magnetic induction
- I Wafer current
- I_H Hall current
- I_V Supply current
- U_R Longitudinal voltage
- α Deviation of the electrons due to the magnetic field



Osnovi teorije magnetno-otpornih senzora

- Pored Holovog napona koji nastaje u transverzalnom smeru poluprovodničkog elementa dolazi i do efekta promene otpora u longitudinalnom smeru, poznatog pod nazivom **Gausov efekat**.
- Senzore koje koriste ovaj efekat nazivaju se magnetno-otpornim senzorima.
- Zavisnost otpora od magnetne indukcije B do približno 0,3 T je kvadratna, dok je iznad te tačke promena otpora linearna sa povećanjem magnetne indukcije.

Magnetno-otporni senzori

23

Magnetoresistive differential sensor

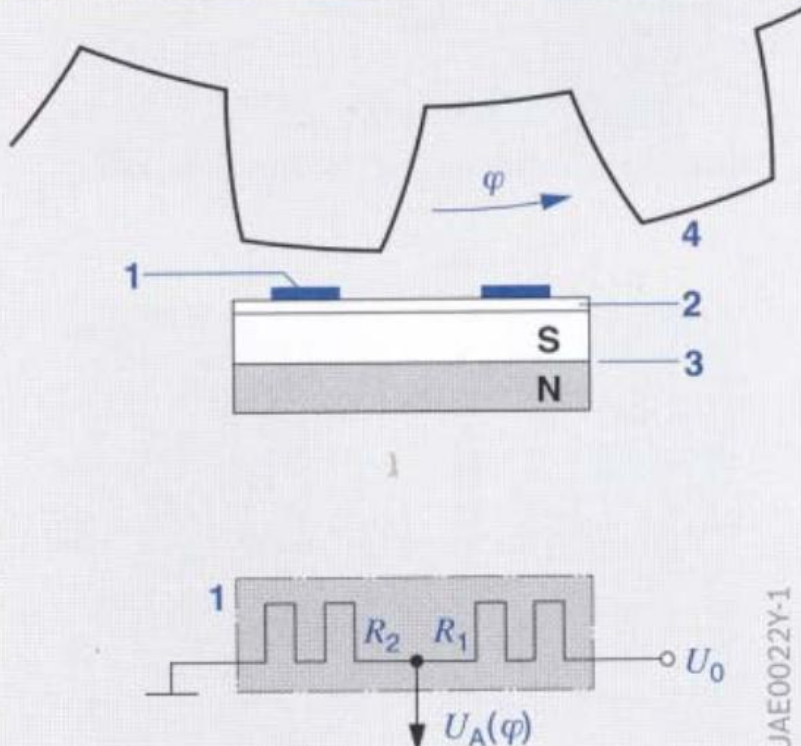


Fig. 23

Magnetic activation of a magnetoresistive differential sensor for gear wheel scanning (incremental angular position measurement, speed of rotation sensing)

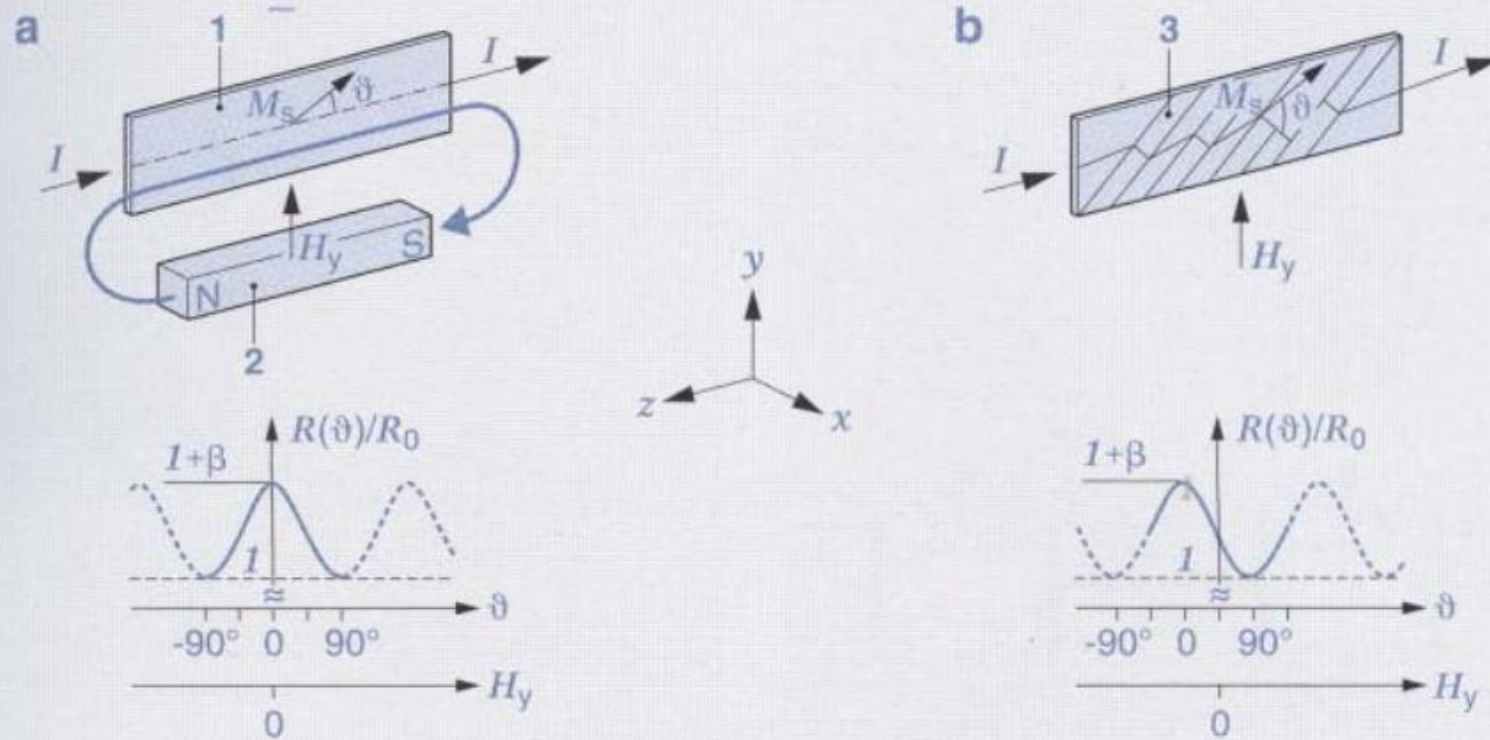
- 1 Magnetoresistors R_1, R_2
- 2 Soft-magnetic substrate
- 3 Permanent magnet
- 4 Gear wheel
- U_0 Supply voltage
- U_A Output voltage at angle of rotation φ

- S obzirom da temperatura bitno utiče na otpornost magneto-otpornih senzora (promena temperature od 100 K dovodi do smanjenja otpornosti za oko 50 %), zbog čega se ovi senzori obavezno izvode u dualnoj konfiguraciji razdelnika napona, odnosno kao diferencijalno magnetno-otporni senzori.

- **Osnovna prednost** magnetno-otpornih senzora je visok nivo signala od (nekoliko V), što znači da nije potrebno lokalno pojačanje.
- Kako su otpornici pasivne komponente, zanemarljiv je uticaj elektromagnetskih smetnji usled čega su ovi senzori praktično imuni na spoljna magnetna polja.

Anizotropno-magnetno otporni efekat (AMR) u tehnici tankog filma

25 AMR basic principle, barber pole structure

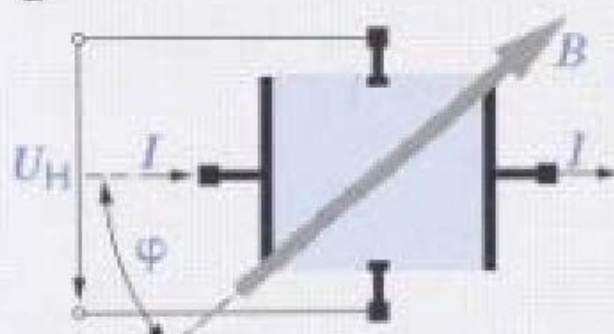


- Sloj NiFe debljine od 30-50 nm odlikuje se elektromagnetno anizotropnim karakteristikama, odnosno, električni otpor mu se menja pod uticajem elektromagnetskog polja (*Anisotropic Magneto Resistive - AMR*).
- Ta legura metala u stručnoj literaturi je poznata pod nazivom **permaloj** (*permalloy*).

26

Pseudo Hall sensor

a



b

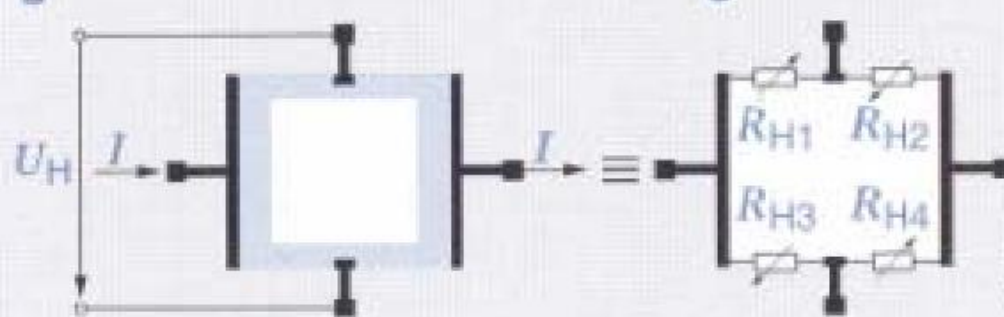


Fig. 26

- a Full area basic form
- b Modified form with hollowed surface
- c Electrical circuit diagram for form b

SAE1022-1Y

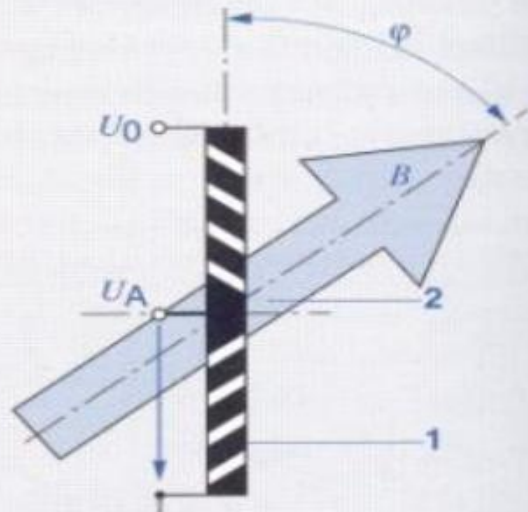
- U slučaju dvopolnog AMR elemenata, npr. na NiFe strukturi tankog filma, dobija se tzv. „pseudo-Holov“ senzor.
- Kontrolno magnetno polje B u većini slučajeva se generiše sa magnetnom koji vrši ili translatorni ili rotacioni pomeraj u odnosu na senzor.
- Za razliku od normalnog Holovog senzora, „pseudo-Holov“ senzor je osetljiv samo na magnetno polje u ravni, odnosno nije osetljiv na vertikalno polje.
- Zatim, nema proporcionalnu statičku karakteristiku već sinusnu koja nije osetljiva na jačinu kontrolnog polja.

Senzor ugaone pozicije za uglove $< 30^\circ$

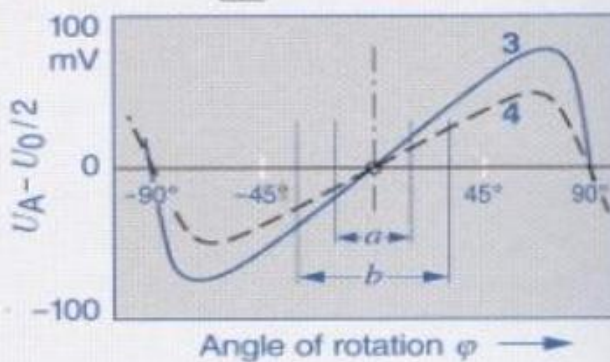
27

Magnetoresistive angular-position sensor
(barber pole)

a



b



UAE0641-1E

Fig. 27

Measuring range
up to $\pm 15^\circ$

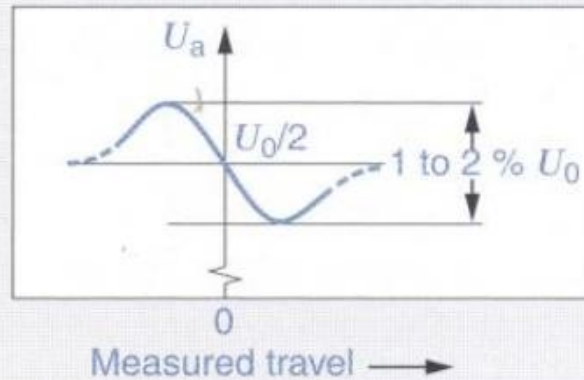
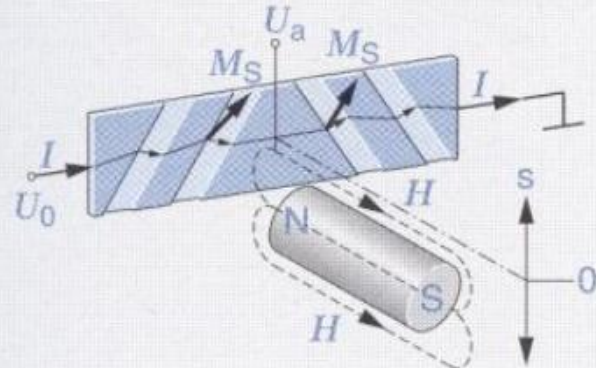
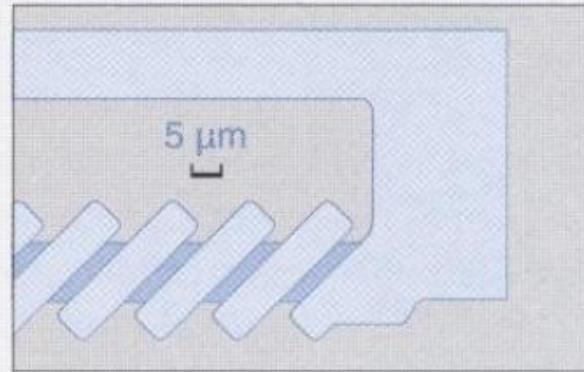
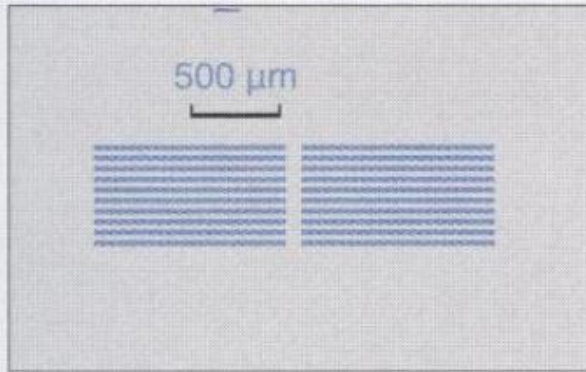
- a Measuring principle
- b Characteristic curve
- 1 Permalloy resistors
- 2 Rotatable permanent magnet with control induction B
- 3 Lower operating temperature
- 4 Higher operating temperature
- a Linear measuring range
- b Effective measuring range
- U_A Output voltage
- U_0 Supply voltage (5V)
- φ Angle of rotation

- „Barber pole“ senzor ugaone pozicije karakteriše ograničena tačnost i ograničeno područje primene (max. $\pm 15^\circ$).
- Princip rada se zasniva na nesimetričnom magnetno-otpornom naponskom delitelju koji sadrži „permaloy“ otpornike sa zlatnom trakom visoke provodnosti.
- Izlazna karakteristika senzora bitno zavisi od temperature (slika b).

„Barber pole“ senzor linearnih pomaka

28

Displacement measurement with single differential barber pole



Senzor ugaone pozicije za uglove < 180°

30

Magnetoresistive angular-position sensor
(pseudo Hall)

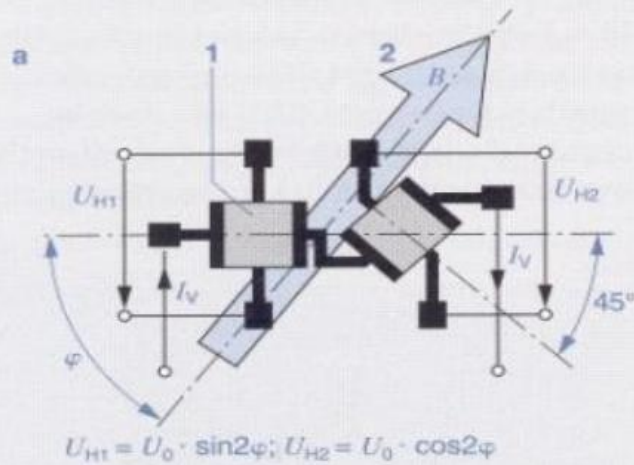
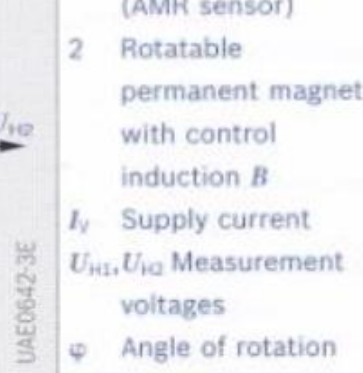


Fig. 30
Measuring range up to 180°
 a Measuring principle
 b Output signals
 1 Thin NiFe film (AMR sensor)
 2 Rotatable permanent magnet with control induction B
 I_V Supply current
 U_{H1}, U_{H2} Measurement voltages
 φ Angle of rotation



UAED42-3E

- Magnetno-otporni senzor ugaone pozicije tipa „pseudo-Hall“ karakteriše pravi sinusni signal na izlaznim stezaljkama četveropolne strukture senzora.
- dve pune periode električnog signala odgovaraju mehaničkoj rotaciji magneta za 360°.
- Pomoću drugog elementa, koji je zakrenut za 45°, generiše se i kosinusni signal.

Senzor ugaone pozicije za uglove do 360°

31

AMR360 angular-position sensor with field direction modulation

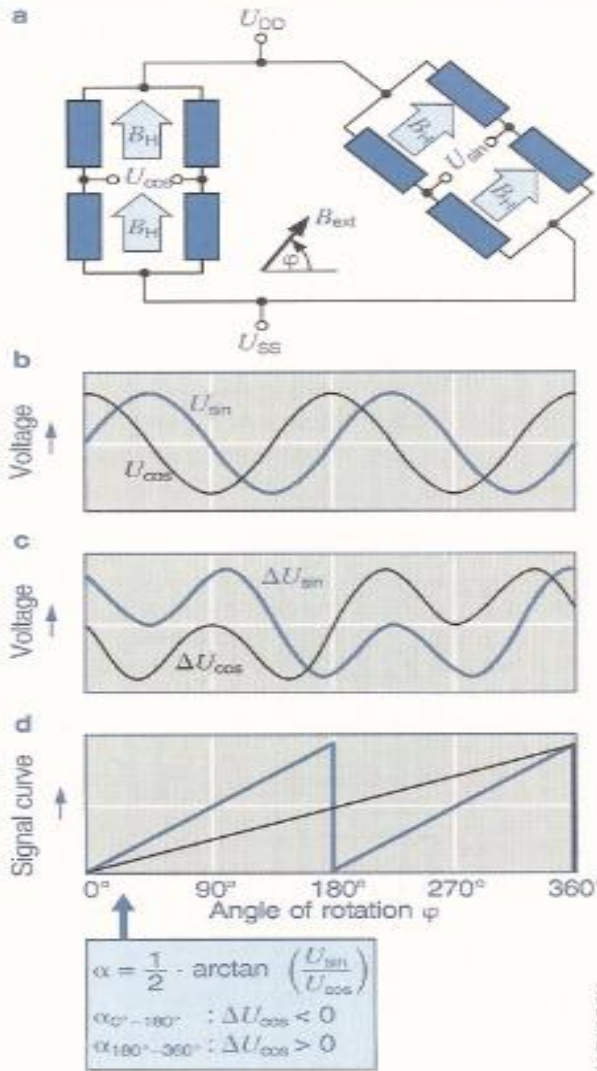


Fig. 31

- a Bridge circuit
 - b Output signals from the Wheatstone bridges
 - c Influence of the auxiliary field on the signals
 - d Output signal from the evaluation circuit
- B_H Control Induction
 U_{DD}, U_{SS} Supply voltages
 U_{sin}, U_{cos} Measurement voltages
 φ Angle of rotation

Senzor ugaone pozicije za uglove veće od 360°

33

Arrangement for angular measurement in excess of 360°

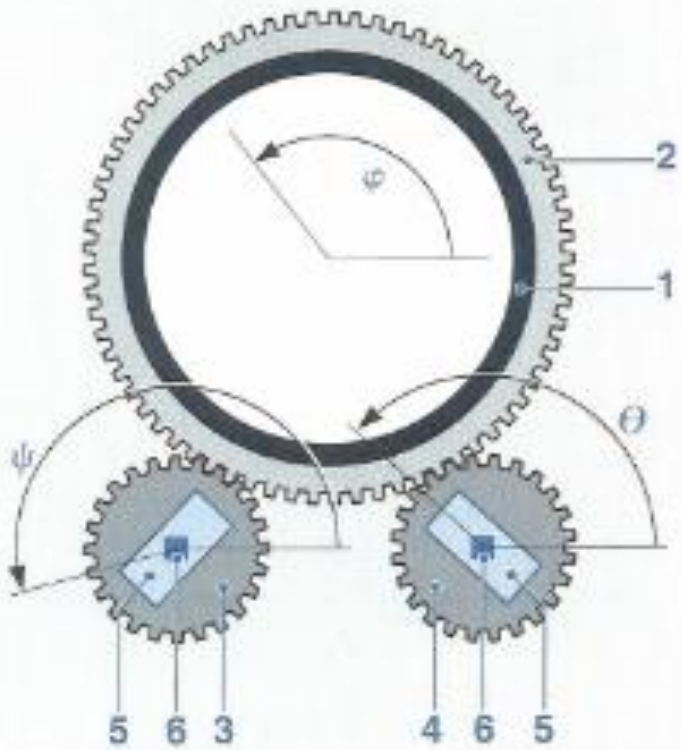


Fig. 33

- 1 Steering axle
- 2 Ring gear
- 3 Gear wheel with m teeth
- 4 Gear wheel with $m+1$ teeth
- 5 Magnets
- 6 AMR sensor elements
- φ Angle of rotation of the steering column
- Ψ, θ Angle of rotation of the small gear wheels

- Dvostruka konfiguracija „pseudo-Holvo“ senzora ugla rotacije (za 180°) može se primeniti za određivanje položaja uga upravljača.
- Dva permanenta magneta rotiraju, svaki sa svojim zupčanikom.
- Zbog dva manja izlazna zupčanika, koji se razlikuju za po jedan zub, njihov međusobni ugao (razlika uglova rotacije) predstavlja tačnu mernu apsolutnu poziciju ugla upravljača.
- Sistem je projektovan tako da fazna razlika ne prelazi 360° za ukupno 4 obrtaja osovine upravljača.

SENZORI I AKTUATORI

Primer primene senzora ugaone pozicije za uglove veće od 360°

1 LWS3 AMR steering-angle sensor (principle)

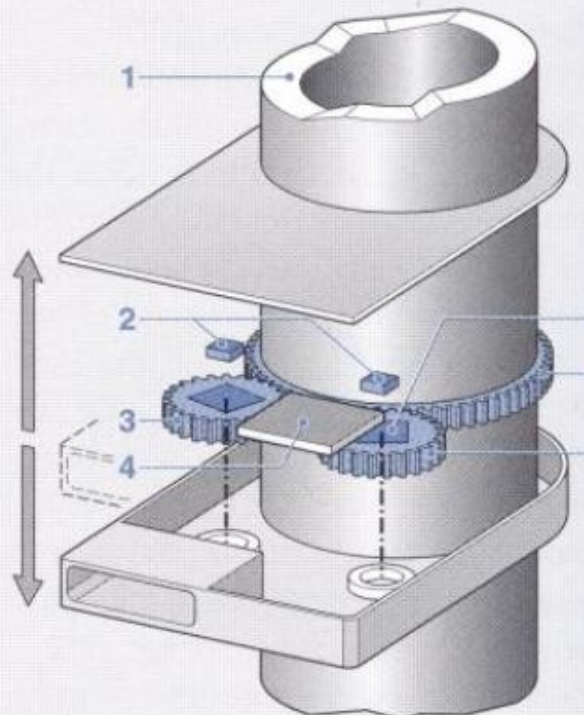


Fig. 1

- 1 Steering shaft
- 2 AMR sensor elements
- 3 Gear wheel with m teeth
- 4 Evaluation electronics
- 5 Magnets
- 6 Gear wheel with $n > m$ teeth
- 7 Gear wheel with $m + 1$ teeth

2 LWS3 AMR steering-angle sensor (view)



3 LWS4 AMR steering-angle sensor for mounting on the end of the steering axle

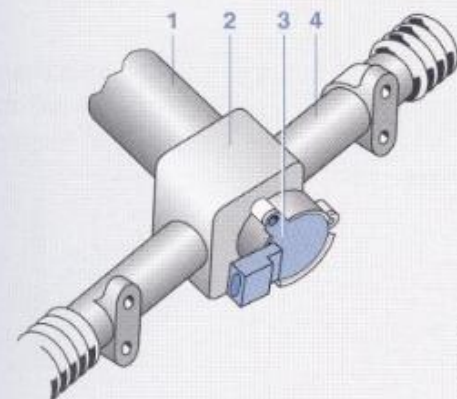


Fig. 3

- 1 Steering column
- 2 Steering gear
- 3 Steering-angle sensor
- 4 Steering rack

SENZORI I AKTUATORI

4 Measuring principle of FPM2.3

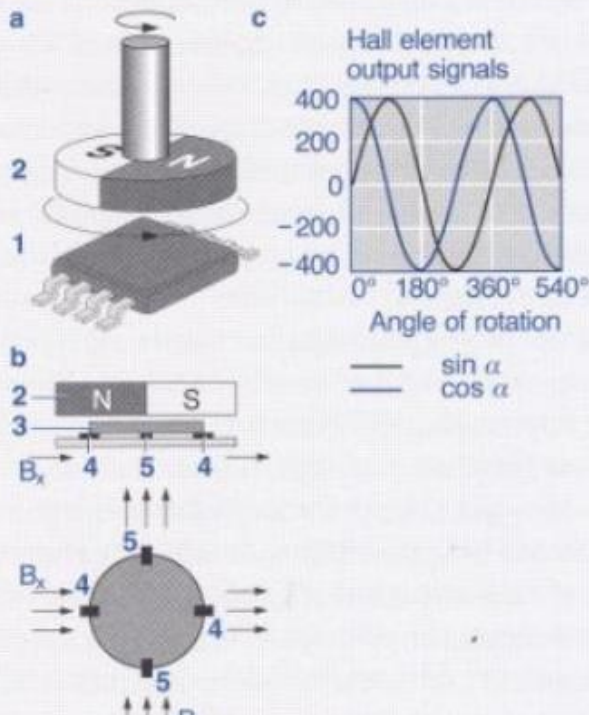


Fig. 4

- a Design
 - b Principle
 - c Measurement signals
- 1 Integrated circuit (IC) with Hall elements
 - 2 Magnet (opposing magnet not shown here)
 - 3 Conductive element
 - 4 Hall elements (for recording x-components of B)
 - 5 Hall elements (for recording y-components of B)
 - B_x Homogenous magnetic field (x-components)
 - B_y Homogenous magnetic field (y-components)

5 Exploded view of FPM2.3 accelerator-pedal module



Fig. 5